

02:04:12

©1993 г.

**РАЗРАБОТКА И ПРИМЕНЕНИЕ
ФОТОИОНИЗАЦИОННОГО МЕТОДА
ДЛЯ ИЗМЕРЕНИЙ ПЛОТНОСТИ АТОМОВ ВОДОРОДА
В ПЛАЗМЕ ТОКАМАКА**

*В.И.Гладущак, В.К.Гусев, М.Ю.Кантор, Ю.В.Петров,
Г.Т.Раздобарин, В.В.Семенов, С.Ю.Толстяков*

В настоящее время для измерения пространственного распределения атомов в плазме применяется известный метод резонансной флюoresценции. В измерениях локальной плотности нейтрального водорода в высокотемпературной плазме используются лазеры на красителях для возбуждения переходов бальмеровской серии H_{β} и H_{α} [1,2].

В наших последних экспериментах был развит новый диагностический подход, основанный на девозбуждении атомных переходов под воздействием процессов фотоионизации. Для определения концентрации возбужденных атомов в плазме регистрируется импульсное уменьшение спонтанного излучения с ионизуемого лазером уровня. Предложенная диагностика формально имеет много общего с флюoresцентной и позволяет производить локальные измерения плотности частиц с высоким пространственным разрешением. Вместе с тем метод обладает рядом преимуществ.

Во-первых, он позволяет избежать очевидных сложностей флюoresцентной диагностики, связанных с точной настройкой лазера на частоту перехода. Один и тот же лазер с фиксированной частотой позволяет измерять концентрацию атомов одновременно в нескольких возбужденных состояниях. Во-вторых, благодаря большой разности частот зондирующего и спонтанного излучения довольно просто решается задача подавления паразитного рассеянного света.

Для реализации предложенного метода параметры зондирующего излучения должны удовлетворять следующим условиям. Необходимо, чтобы энергия фотона превышала энергию ионизации атома в соответствующем возбужденном состоянии. Так, энергии кванта рубинового лазера достаточно для ионизации атомов водорода, начиная с уровня с главным квантовым числом $n = 3$, неодимового — с уровня $n = 4$. Кроме того, плотность мощности зондирующего пучка должна обеспечивать существенное опустошение ионизуемого уровня. В этом случае регистрируемый сигнал перестает зависеть от интенсивности лазерного излучения. В условиях насыщения существенно упрощается интерпретация полученных экспериментальных результатов. Насыщение сигнала важно для реализации максимальной чувствительности метода. В стационарном состоянии порог насыщения достигается в условиях, когда скорость ионизации приближается к полной скорости релаксационных процессов, включающих радиационный распад и электронные столкновения. При равенстве указанных скоростей

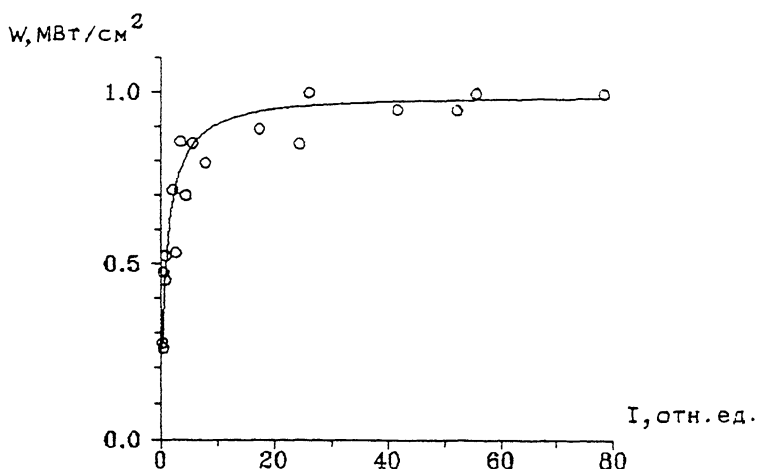


Рис. 1. Кривая насыщения. По горизонтальной оси — плотность мощности лазерного излучения.

пороговая плотность потока оказывается равной:

$$\Phi_{\text{порог}} = h\nu \cdot (A/\sigma_{\text{ион}}) \cdot \alpha, \quad (1)$$

где A — сумма вероятностей излучательных переходов с верхнего уровня, $\sigma_{\text{ион}}$ — сечение ионизации, α — коэффициент, учитывающий уменьшение времени жизни возбужденного состояния под влиянием процессов тушения электронным ударом.

Для выбранного уровня водорода с главным квантовым числом $n = 4$ сечения ионизации излучением рубинового и неодимового лазеров равны $0.36 \cdot 10^{-17}$ и $1.2 \cdot 10^{-17} \text{ см}^2$ [3], которым соответствуют пороговые плотности потока 2.5 и 0.5 МВт/см^2 . Для этих оценок учитывался только радиационный распад четвертого уровня ($\alpha = 1$), что справедливо для низкоплотной плазмы с концентрацией электронов меньше 10^{13} см^{-3} . Для более высоких концентраций ($\alpha > 1$) пороговая плотность потока увеличивается до нескольких МВт/см². Заметим, что близкие параметры излучения используются в диагностических экспериментах по томсоновскому рассеянию. Это делает возможным объединение обеих диагностик в единый комплекс.

В экспериментах на токамаке ФТ-1 были опробованы два типа лазеров, используемых для томсоновского рассеяния — рубиновый и неодимовый. Для проверки эффекта насыщения наблюдалось собственное свечение плазмы на линии H_β вдоль зондирующего пучка. На катод фотоумножителя проецировался объем плазмы вдоль хорды длиной 30 см, облучаемый лазером. Для выделения линии H_β использовался интерференционный светофильтр с полосой пропускания $\sim 20 \text{ \AA}$. Зависимость амплитуды наблюдаемого сигнала от интенсивности пучка Nd лазера отражает кривую насыщения, приведенная на рис. 1. Сплошная линия показывает ожидаемую зависимость для случая, когда насыщающая плотность мощности равна 1 МВт/см². Сильный эффект насы-

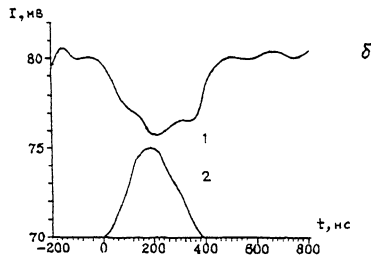
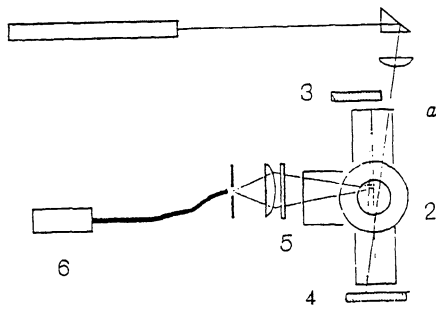


Рис. 2. а — схема эксперимента с Rb лазером; 1 — Rb лазер; 2 — токамак; 3,4 — сферические зеркала многопроходной системы зондирования, 5 — интерференционный светофильтр, 6 — фотоумножитель.

б — осциллограммы регистрируемого сигнала (1) и зондирующего лазерного импульса (2).

щения наблюдался также для рубинового лазера, когда плотность мощности превышала $10 \text{ МВт}/\text{см}^2$.

Описанная выше диагностика использовалась для определения плотности нейтрального водорода в омическом разряде токамака ФТ-1. Основные параметры токамака: большой радиус — 62.5, малый — 15 см, концентрация электронов в центре плазменного шнура — $2 \cdot 10^{13} \text{ см}^{-3}$, температура — 400 эВ. Измерения были выполнены на расстоянии 12 см от оси разряда в сечении газового напуска. Излучение плазмы под углом 90° к лазерному пучку собиралось объективом в телесном угле $4 \cdot 10^{-3}$ ср и направлялось с помощью световода на фотоумножитель. Отрезок лазерного пучка высотой 2.5 см проецировался на входную щель световода. Полное пропускание оптического тракта составляло около 10%.

В экспериментах с рубиновым лазером (рис. 2, а) применялась оптическая схема томсоновской диагностики с многопроходной системой зондирования, описанной в работе [4]. Многократное прохождение лазерного зондирующего луча внутри плазменного объема позволило расширить поперечное сечение пучка от $5 \cdot 5$ до $5 \cdot 20 \text{ мм}^2$, увеличить полную длительность импульса до 200 нс. Увеличение сечения пучка и длительности лазерного импульса дало выигрыш в величине детектируемого сигнала на порядок в условиях насыщения. В экспериментах использовался многоимпульсный режим генерации лазера из 4–5 импульсов за время около 1 мс.

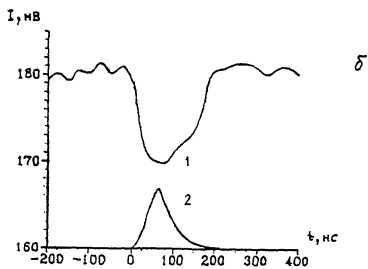
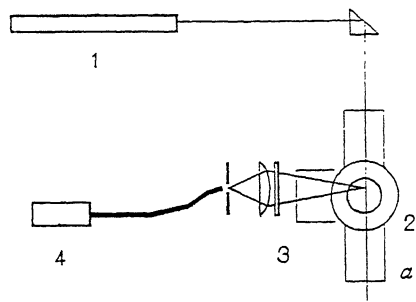


Рис. 3. а — схема эксперимента с Nd лазером. 1 — Nd лазер, 2 — токамак, 3 — интерференционный светофильтр, 4 — фотоумножитель.

б — осциллограммы регистрируемого сигнала (1) и зондирующего лазерного импульса (2).

Усредненный по импульсам регистрируемый сигнал на линии H_{β} показан на рис. 2, б.

В экспериментах с использованием Nd лазера оказалось возможным применить наиболее простую схему зондирования плазмы. Широкий параллельный пучок света ограничивался только сечением входных патрубков размером $40 \cdot 20 \text{ мм}^2$ (рис. 3, а). Осциллограмма регистрируемого сигнала на линии H_{β} представлена на рис. 3, б.

Результаты, представленные на рис. 2, б и 3, б, относятся к плазме с концентрацией невозбужденных атомов водорода 10^{11} см^{-3} . Наблюдаемое на осциллограммах отношение сигнал/шум позволяет предположить, что уверенная регистрация сигнала возможна при снижении плотности водорода по крайней мере на порядок.

В настоящее время на токамаке ФТ-1 готовятся эксперименты по измерению радиального распределения плотности атомов водорода. Предпочтение отдано Nd лазеру ввиду большего сечения ионизации, а также более эффективному подавлению паразитного рассеянного света. Ожидается, что многоимпульсный режим генерации лазера (до 100 импульсов за 2 мс), а также применение более светосильной собирающей оптики увеличат чувствительность метода более чем на два порядка.

Список литературы

- [1] Razdobarin G.T., Semenov V.V. et al. // Nucl. Fusion. 1979. V. 19. P. 1439.
- [2] Gohil P., Kolbe G., Forrest M. et al. // J. Phys. D: Appl. Phys. 1983. V. 16. P. 333.
- [3] Barnet C.F., Ray J.A., Thompson J.C. ORNL-3113. 1964. P. 163.
- [4] Akatova T.Yu., Bulyginsky D.G. et al. // Proc. 17 EPS Conf. on Contr. Fus. and Plasma Heat. Amsterdam, 1990. V. 4. P. 1684.

Физико-технический институт
им. А.Ф.Иоффе РАН
Санкт-Петербург

Поступило в Редакцию
12 мая 1993 г.
